

تحلیل فراوانی منطقه‌ای سیلاب با استفاده از روش گشتاورهای خطی بر اساس تحلیل خوشبندی در حوضه دریاچه ارومیه

فرشاد فتحیان^{*} و حجت احمدزاده[†]

^{*} نویسنده مسئول، دانشجوی مقطع کارشناسی ارشد مهندسی منابع آب، دانشگاه تربیت مدرس farshad.fathian@gmail.com

[†] دانشجوی مقطع کارشناسی ارشد مهندسی منابع آب، دانشگاه تربیت مدرس

تاریخ دریافت: ۹۰/۷/۹ تاریخ پذیرش: ۹۱/۷/۲۲

چکیده

به منظور تعیین نواحی همگن و تخمین دبی‌های حداکثر لحظه‌ای با دوره بازگشت‌های مختلف در نقاط فاقد ایستگاه آب-سنگی، از روش خوشبندی و تحلیل فراوانی منطقه‌ای به روش گشتاورهای خطی استفاده شده است. نتایج تحلیل خوشبندی با روش K-means نشان داد پنج منطقه همگن در حوضه دریاچه ارومیه وجود دارد. با انجام آزمون ناجوری، ایستگاه‌های سه‌زاب و بوکان ناجور بوده و پس از حذف به صورت ایستگاهی تحلیل فراوانی شدند. آزمون ناهمگنی نیز تمامی نواحی را همگن تشخیص داد و برای تحلیل فراوانی این نواحی از ۱۱تابع توزیع احتمالی استفاده شد. بر اساس آزمون‌های نکوتی برازش، توابع توزیع لجستیک تعمیم‌یافته برای نواحی A، B و C، لوگ نرمال سه پارامتری برای ناحیه D، مقادیر حدی تعمیم‌یافته برای ناحیه E و برای ایستگاه‌های سه‌زاب و بوکان به ترتیب توابع لوگ نرمال دو و سه پارامتری انتخاب شدند. علاوه بر این، تابع توزیع مقادیر حدی تعمیم‌یافته برای تمامی نواحی همگن مناسب تشخیص داده شد.

کلید واژه‌ها: تحلیل منطقه‌ای سیلاب، تحلیل خوشبندی، گشتاورهای خطی، حوضه دریاچه ارومیه.

مقدمه

مطالعات انجام شده در زمینه‌ی تحلیل خوشبندی سابقه چندان طولانی ندارد که در ادامه به برخی از آنها اشاره می‌شود. مولسلي^۲ از روش تحلیل خوشبندی برای تعیین نواحی همگن بارندگی نیوزیلند استفاده کرده است (۲۴). سانتوس و همکاران^۳ جهت ارزیابی الگوی مکانی و زمانی شاخص خشکسالی SPI، روش‌های خوشبندی k-means و تحلیل مولفه‌های اصلی^۴ استفاده کردند (۲۷)، برای ناجهای کردن سیلاب‌ها، باسکر و اوکونور^۵ روش‌های تحلیل خوشبندی و باقیمانده را با هم مقایسه کردند که نتایج آنها کاملاً مشابه یکدیگر بود (۵). همچنین بورن^۶ جهت مشخص کردن ایستگاه‌ها در یک ناجه برای تحلیل فراوانی سیل ناجهای، از تحلیل خوشبندی استفاده کرد (۶).

برای نخستین بار، کاربرد گشتاورهای وزنی احتمال^۷ در علم هیدرولوژی توسط گرین‌وود و همکاران^۸ ارائه شد و سپس توسط

تخمین دبی‌های حداکثر لحظه‌ای با دوره بازگشت مورد نظر در منطقه مورد مطالعه از جمله پارامترهای لازم در طراحی انواع سازه‌های آبی است. اما برآورد آنها در بیشتر پروژه‌های آبی به علت عدم وجود ایستگاه آب‌سنگی و یا ناقص بودن داده‌های آن در محل پروژه، با مشکل رو به رو شده است (۱۷). بدین منظور استفاده از روش‌های تحلیل منطقه‌ای سیلاب در نواحی که از همگنی هیدرولوژیکی برخوردار هستند، می‌تواند کارساز باشد. به طور کلی تحلیل منطقه‌ای سیلاب دو هدف عمدۀ را دنبال می‌کند: اول تعیین حوضه‌های آبریزی که از لحاظ هیدرولوژیکی همگن هستند. دوم بالا بردن دقت تحلیل فراوانی سیل در ساختگاه‌های دارای آمار و برآورد سیلاب در ساختگاه‌های فاقد آمار (۷).

تحلیل خوشبندی^۹ از جمله روش‌های مفید و جدید جهت تعیین نواحی همگن به منظور تحلیل منطقه‌ای سیلاب در یک حوضه آبریز می‌باشد. در این روش، قرار دادن ایستگاه‌های آب‌سنگی حوضه در دسته‌های متمایز، بر اساس میزان مشابهت بین آنها (معیار فاصله) صورت می‌گیرد.

2 - Mosley

3 - Santos et al.

4- Principal component analysis

5- Bhaskar and Oconnor

6- Burn

7-Probability weighted moments

8- Greenwood et al.

لجستیک تعیین‌یافته به عنوان بهترین توزیع منطقه‌ای برای هر دو شاخص انتخاب گردید (۱۰، ۹).

هدف از مطالعه حاضر تلفیق نتایج حاصل از تحلیل خوشه‌ای و روش گشتاورهای خطی، ارزیابی روش‌های تحلیل خوشه‌ای در تعیین نواحی همگن هیدرولوژیک و تحلیل فراوانی منطقه‌ای دبی سیلاب این نواحی با تئوری گشتاورهای خطی در حوضه دریاچه ارومیه است.

مواد و روش‌ها

تحلیل خوشه‌بندی

یکی از تکنیک‌هایی که در مبحث داده کاوی جهت استخراج الگوهای موجود در حجم عظیمی از داده‌ها مورد استفاده قرار می‌گیرد، خوشه‌بندی است (۱۳). روش‌های خوشه‌بندی به دو گروه کلی سلسله مراتبی و تجزیه‌ای تقسیک می‌شوند. در این مطالعه، جهت تعیین نواحی همگن حوضه از روش‌های خوشه‌بندی تجزیه‌ای K-means و K-medoids استفاده شد و در ادامه به شرح آنها پرداخته می‌شود.

روش خوشه‌بندی K-means: در این روش ابتدا اشیاء موردنظر به صورت تصادفی در خوشه‌هایی که تعداد آنها را خود مشخص کرده‌ایم، قرار می‌گیرند و سپس براساس مشاهدت آنها با مراکز خوشه‌ها، کار اختصاص دادن آنها به خوشه‌ها به انجام می‌رسد و این حلقه تا زمانی ادامه می‌یابد که شرط همگرایی محقق شود (۱۲). شرط همگرایی زمانی محقق می‌شود که خطای محدود که با استفاده از رابطه (۱) به دست می‌آید به حداقل مقدار خود رسیده باشد:

$$J(X; V) = \sum_{i=1}^c \sum_{k=1}^n \|x_k^{(i)} - v_i\| \quad (1)$$

در این رابطه c تعداد خوشه‌ها، $x_k^{(i)}$ فاصله متغیر k از خوشه آم از مبدأ اختصاصات بوده و v_i فاصله مرکز جرم خوشه آم از مبدأ اختصاصات می‌باشد.

روش خوشه‌بندی K-medoids: یکی دیگر از روش‌های خوشه‌بندی تجزیه‌ای، روش K-medoids است. در این روش، ابتدا مشاهدات به K خوشه تقسیم می‌شوند و بعد از آن برای هر خوشه t ام ($t=1, 2, \dots, k$) یک نمایانگر (m_t) انتخاب می‌شود. مشاهداتی در خوشه t به عنوان نمایانگر انتخاب می‌شود که عبارت $\sum_i d(c_i, m_t)$ را حداقل کند. $d(c_i, m_t)$ فاصله d از c_i و m_t است.

اقلیدسی بین متغیر آم در خوشه t و نمایانگر خوشه‌ی آم بوده و C_t مشاهده‌ی آم می‌باشد (۲۱).

شاخص Silhouette: این شاخص جهت ارزیابی نحوی خوشه‌بندی با استفاده از روش‌های مختلف خوشه‌بندی، مورد استفاده قرار می‌گیرد. این شاخص با استفاده از رابطه (۲)

محاسبه می‌شود:

هاسکینگ و والیس توسعه و تکامل یافت (۱۱). برتری این روش نسبت به سایر گشتاورهای، در عدم حساسیت به مقادیر پرت در داده‌ها است. این امر باعث شده است که روش گشتاورهای وزنی احتمال نتایج مطمئن‌تری از نمونه‌های کوچک بر اساس یک توزیع احتمال ارائه دهنده (۱۰، ۱۱، ۱۵ و ۱۷).

گشتاور خطی نیز یک ترکیب خطی از داده‌های مشاهده‌ای تصادفی است که بر اساس گشتاورهای وزنی احتمال بوده و برای اولین بار در سال ۱۹۹۰ توسط هاسکینگ^۱ معرفی شد. این روش به دلیل قدرت بالایی که در آزمون همگنی نواحی، تحلیل منطقه ای و انتخاب بهترین توزیع ممکن برای برازش داده‌های هواشناسی و هیدرولوژیکی نظریه بارندگی‌ها، سیلاب‌های حداقل و حداقل ماهانه یا سالانه دارد، کاربردهای وسیعی در علوم هیدرولوژی و منابع آب یافته است (۱۵).

مطالعات در زمینه تحلیل فراوانی منطقه‌ای متغیرهای هیدرولوژیکی از دهه ۱۹۸۰ آغاز شد و کلمس^۲ در مطالعه خود روش‌ها و مزایای تحلیل فراوانی سیل منطقه‌ای را بیان کرد (۲۲). آداموسکی^۳ به مقایسه روش‌های غیرپارامتری و گشتاورهای خطی در تحلیل منطقه‌ای سیلاب حوضه‌های واقع در استان‌های انتاریو و کبک کانادا پرداخت. وی در پژوهش خود، از داده‌های حداقل سالیانه و سری جزئی سیلاب استفاده کرد و منطقه مورد مطالعه به نه ناحیه همگن تقسیم نموده طوری که نواحی همگن مکانیزم تولید سیلاب مشابه داشتند (۴). کومار و کاتارجی^۴ با استفاده از روش گشتاورهای خطی به تحلیل فراوانی سیلاب منطقه‌ای پرداختند. نتایج نشان داد که توزیع مقادیر حدی تمیم یافته بهترین برازش را به سیلاب حوضه آبریز براهمانپاتوی شمالی هند دارد (۲۳).

در ایران نیز تحقیقاتی در این زمینه صورت گرفته که به برخی از آنها اشاره می‌شود. شامکوئیان و همکاران به تحلیل فراوانی سیلاب منطقه‌ای با روش گشتاورهای خطی و سیلاب نمایه در حوضه‌های آبریز استان خراسان پرداختند. نتایج نشان داد که توزیع مقادیر حدی تمیم یافته بر نواحی هفت گانه همگن، مناسب تشخیص داده شده است (۲). مطالعاتی نیز در این زمینه برای بارندگی و شاخص‌های خشکسالی انجام شده است. اسلامیان و فیضی، تحلیل فراوانی منطقه‌ای حداقل بارش ماهانه را با روش گشتاور خطی در ۱۸ ایستگاه حوضه زاینده‌رود مورد بررسی قرار دادند. مطالعات آنها نشان داد که توزیع‌های مقادیر حدی تمیم یافته و پیرسون نوع سه بهترین برازش را به داده‌ها داشته است (۸). در تحقیق دیگری نیز اسلامیان و همکاران به تحلیل فراوانی منطقه‌ای شاخص‌های خشکسالی کمبود بارش تجمعی و حداقل کمبود بارش در استان اصفهان پرداختند و توزیع

1-Hosking

2-Kleme

3- Adamowski

4- Kumar and Chatterjee

که در آن τ_3 معیار پراکنش خطی (LC_V)، τ_4 معیار چولگی خطی (LC_S) و τ_5 معیار کشیدگی خطی (LC_K) می‌باشد. در روش گشتاورهای خطی، برآورد پارامترهای توزیع از طریق معادل قراردادن چند گشتاور خطی اول داده‌ها با گشتاورهای نظیر مربوط به توزیع انجام می‌پذیرد (۱۱).

تحلیل فراوانی سیالاب منطقه‌ای

تحلیل منطقه‌ای سیالاب شامل مراحل غربال داده‌ها، تعیین نواحی همگن، انتخابتابع تابع توزیع فراوانی منطقه‌ای، تخمین پارامترهای تابع توزیع هر ناحیه همگن و تخمین دی سیالاب اوج لحظه‌ای با دوره بازگشتهای مختلف در نواحی همگن می‌باشد.

در ادامه به شرح آزمون‌های هر مرحله پرداخته شده است.

آزمون ناجوری^۱: اندازه ناجوری، D_i که بر حسب گشتاور خطی توسط هاسکینگ و والیس^۲ تعریف شده است، برای حذف ایستگاه‌های غیر عادی و همچنین جهت ارزیابی داده‌ها از لحاظ مناسب بودن برای تحلیل فراوانی منطقه‌ای مورد استفاده قرار می‌گیرد (۱۷). فرض کنید $[\tau_{i_1}, \tau_{3i_1}, \tau_{4i_1}]^T = u_i$ برداری مشکل از نسبت‌های گشتاور خطی برای ایستگاه i باشد، در این صورت میانگین گروه \bar{u} و ماتریس کواریانس نمونه S است و اندازه ناجوری برای ایستگاه i با استفاده از رابطه زیر به دست می‌آید:

$$D_i = 3^{-1} (u_i - \bar{u})^T S^{-1} (u_i - \bar{u}) \quad (6)$$

که n تعداد کل ایستگاه‌ها است (۸). اگر آماره D_i برای یک ایستگاه بزرگتر از ۳ باشد، داده‌ای مشاهداتی آن ایستگاه ناهمگن با دیگر ایستگاه‌های منطقه در نظر گرفته می‌شود (۸ و ۹).

آزمون ناهمگنی منطقه‌ای^۳: آزمون ناهمگنی گشتاورهای خطی با هدف برآورد درجه ناهمگنی در یک گروه از ایستگاه‌ها و تشخیص اینکه آیا آنها می‌توانند به طور معقول به عنوان یک گروه همگن در نظر گرفته شوند یا نه، انجام می‌شود (۱۶ و ۱۸). برای آزمون‌دن همگنی، سه آزمون مختلف وجود دارد: آزمون اول بر پایه معیار پراکنش خطی است. آزمون دوم بر پایه پراکنش و چولگی خطی بوده و آزمون سوم بر پایه چولگی و گشیدگی خطی است. این آزمون‌ها، آماره V نامیده شده و روابط آنها در مبنای ذکر شده تشریح شده‌اند. در نتیجه میزان ناهمگنی با توجه به رابطه (۷) محاسبه می‌شود:

$$s(i) = \frac{b(i) - dist(i; k)}{\max(b(i), dist(i; k))} \quad (2)$$

$$b(i) = \min(dist(i; G), G \neq k)$$

در این رابطه، $s(i)$ مقدار شاخص silhouette برای واحد آن بوده و $dist(i; k)$ متوسط فاصله واحد آن واقع در خوشه k از بقیه اعضای واقع در همین خوشه می‌باشد. مقادیر این شاخص از ۱ تا ۱- تغییر می‌کند. اگر مقدار این شاخص مثبت باشد خوشه-بندی به خوبی انجام گرفته و چنانچه مقدار آن منفی باشد این امکان وجود دارد که واحد موردنظر به طور اشتباهی در خوشه قرار گرفته باشد (۲۵).

تئوری گشتاورهای خطی

هاسکینگ گشتاورهای خطی را معرفی کرد که توابعی از گشتاورهای وزنی احتمال می‌باشند. گشتاورهای خطی مناسب‌تر و آسان‌تر از گشتاورهای وزنی احتمال هستند، چون می‌توانند مستقیماً به عنوان اندازه‌هایی از مقیاس و شکل توزیع‌های احتمال تشریح شوند. بنابراین کاربرد آنها برای تحلیل فراوانی سیالاب (تعیین تابع توزیع مناسب و تخمین پارامترهای آن) مناسب است (۱۵ و ۱۷). گشتاورهای وزنی احتمالی که توسط گرینوود و همکاران (۱۱) تعریف شدند با توجه به رابطه (۳) تعیین می‌شوند:

$$\beta_r = E \left[x \{F(x)\}^r \right] \quad (3)$$

که $F(x)$ تابع توزیع تجمعی (CDF) برای متغیر x می‌باشد و $x(F)$ معکوس CDF می‌باشد. r نیز اعداد صحیح نامنفی می‌باشند. زمانی که $r = 0$ باشد، $\beta_0 = 1$ می‌باشد. گشتاورهای خطی که توسط هاسکینگ بر حسب گشتاورهای وزنی احتمال β مشخص شده‌اند به صورت رابطه (۴) محاسبه می‌شود:

$$\lambda_{r+1} = \sum_{k=0}^r \beta_k (-1)^{r-k} \binom{r}{k} \binom{r+k}{k} \quad (4)$$

طبق رابطه فوق، چهار گشتاور خطی نخست برای τ صفر تا سه به دست می‌آید و نسبت گشتاورهای خطی به صورت روابط زیر بیان می‌شوند:

$$\begin{aligned} L - CV &= \tau = \frac{\lambda_2}{\lambda_1} \\ L - skew &= \tau_3 = \frac{\lambda_3}{\lambda_2} \\ L - kurtosis &= \tau_4 = \frac{\lambda_4}{\lambda_2} \end{aligned} \quad (5)$$

طبق اظهار هاسکینگ، برآشی را می‌توان مناسب و صحیح دانست اگر مقدار Z^{Dist} به اندازه کافی به صفر نزدیک باشد. معیار معقول و مناسب برای این کار این است که $Z^{Dist} \leq 1.64$ باشد. زمانی که چند توزیع طبق معیار Z مناسب ارزیابی شدن، بهترین توزیع، توزیعی است که کمترین Z^{Dist} را دارا باشد (۱۹).

تخمین پارامترهای توزیع فراوانی منطقه‌ای: برای محاسبه گشتاورهای خطی استاندارد منطقه‌ای با توجه به مقادیر وزنی گشتاورهای خطی بی بعد، از رابطه زیر استفاده می‌شود:

$$\lambda_r^R = \frac{\sum_{i=1}^N n_i \lambda_r^{(i)}}{\sum_{i=1}^N n_i} \quad (10)$$

که $\lambda_r^{(i)}$ گشتاورهای خطی استاندارد منطقه‌ای با مرتبه i گشتاورهای خطی استاندارد شده با مرتبه i در ایستگاه i ، n_i تعداد سال داده‌ها در ایستگاه i و N تعداد ایستگاه‌ها در هر منطقه همگن می‌باشد. در نتیجه، پارامترهای بهترین توزیع منطقه‌ای تخمین زده شده و کمیت‌های^۱ متناظر با دوره‌های بازگشت مختلف برای متغیر مورد نظر به عنوان کمیت منطقه‌ای محاسبه می‌شود. تخمین کمیت‌های ایستگاهی با استفاده از رابطه زیر به دست می‌آید:

$$Q_i(F) = \lambda_1^{(i)} q(F) \quad (11)$$

که $Q_i(F)$ و $q(F)$ به ترتیب کمیت ایستگاهی در ایستگاه i و کمیت منطقه‌ای با احتمال عدم تجاوز F می‌باشد (۲۶).

نرم‌افزارهای مورد استفاده

در این تحقیق به منظور تحلیل خوشه‌بندی از نرم‌افزار RapidMiner⁵ استفاده شد. برنامه مذکور توانایی اجرای تحلیل خوشه‌ای و تعیین نواحی همگن بر اساس متغیرهای مورد نظر را دارد. جهت اجرای آزمون‌های ناجوری، ناهمنگی و تحلیل فراوانی

$$H_i = \frac{(V_i - \mu_{V_i})}{\sigma_{V_i}}; i = 1, 2, 3 \quad (7)$$

که μ_{V_i} و σ_{V_i} به ترتیب میانگین و انحراف معیار مقادیر شبیه‌سازی شده V_i می‌باشند. شبیه‌سازی تعداد زیادی نواحی از طریق برآش توزیع کلایی چهار پارامتری بر مجموعه داده‌های منطقه‌ای انجام می‌شود و هاسکینگ و والیس (۱۹۹۳) تعداد نواحی شبیه‌سازی را حداقل ۵۰۰ ناحیه تشخیص دادند (۱۸). یک ناحیه، ناهمنگن تلقی می‌شود اگر H_1 به اندازه کافی بزرگ باشد. هاسکینگ و والیس پیشنهاد کردند که اگر $1 < H < 2$ ناحیه مورد نظر نسبتاً ناهمنگن است. زمانی که $2 \geq H \geq 1$ ناحیه کاملاً ناهمنگن تلقی می‌شود. همچنین آنها مشاهده کردند که آماره H_1 بر اساس معیار V_1 شاخص بهتری برای تشخیص نواحی همگن است. بنابراین آماره H_1 به عنوان شاخص اساسی برای تشخیص ناهمنگی توصیه می‌شود (۱۶).

آزمون نکوبی برآش منطقه‌ای: هنگامی که ایستگاه‌های موجود در یک ناحیه همگن بوده و از یک توزیع خاص پیروی کنند، در این صورت آزمون نکوبی برآش مبتنی بر گشتاورهای خطی انجام می‌گیرد تا یکی از توزیع‌های رایج انتخاب و پارامترهای آن تخمین زده شود. معیار نکوبی برآش برای هر توزیعی بر اساس آماره Z تعیین می‌شود:

$$Z^{Dist} = (\tau_4^{Dist} - \tau_4^R + B_4) / \sigma_4 \quad (8)$$

که τ_4^{Dist} میانگین کشیدگی خطی محاسبه شده با استفاده از شبیه‌سازی برای توزیع برآش داده شده منتخب و τ_4^R میانگین کشیدگی خطی محاسبه شده از داده‌های واقعی منطقه می‌باشد. B_4 و σ_4 به ترتیب اریب و انحراف استاندارد مقادیر کشیدگی هستند که از طریق شبیه‌سازی محاسبه می‌شوند:

$$B_4 = (N_{sim})^{-1} \sum_{m=1}^{N_{sim}} (\tau_4^{[m]} - \tau_4^R) \\ \sigma_4 = \left[(N_{sim})^{-1} \left\{ \sum (\tau_4^{[m]} - \tau_4^R)^2 - N_{sim} \tau_4^R \right\} \right]^{0.5} \quad (9)$$

که $\tau_4^{[m]}$ میانگین کشیدگی منطقه‌ای می‌باشد که برای m امین منطقه شبیه‌سازی شده محاسبه شده است. N_{sim} تعداد منطقه شبیه‌سازی شده می‌باشد که با استفاده از توزیع کلای تولید می‌گردد.

جدول ۱- فهرست ایستگاه‌های آب‌سنگی مورد استفاده واقع در حوضه ارومیه

ردیف	کد ایستگاه	طول دوره آماری	نام ایستگاه	روندخانه	ردیف	کد ایستگاه	طول دوره آماری	نام ایستگاه	روندخانه	ردیف
۱	آسمیون چای	۳۱-۰۰۱	سه زاب	زینه رود	۱۹	۳۳	۳۱-۰۰۱	آجی چای	سرانسر	۲
۲	آجی چای	۳۱-۰۰۵	آجی چای	مهاباد چای	۲۰	۲۲	۳۴-۰۰۳	آجی چای	و نیار	۳
۳	آجی چای	۳۱-۰۱۵	آخوله	گادار چای	۲۱	۳۶	۳۴-۰۱۱	آجی چای	آخوله	۴
۴	آخوله	۳۱-۰۴۵	سدعلویان	گادار چای	۲۲	۲۴	۳۴-۰۱۹	صوفی چای	سدعلویان	۵
۵	صوفی چای	۳۲-۰۰۷	چکان چای	پل بهراملو	۲۳	۳۴	۳۴-۰۲۱	چکان چای	چکان	۶
۶	چکان چای	۳۲-۰۱۱	ینگجه	بالانچ چای	۲۴	۳۳	۳۵-۰۰۱	قلعه چای	شیشو ان	۷
۷	ینگجه	۳۲-۰۱۵	دریان	باراندو ز	۲۵	۲۴	۳۵-۰۰۷	قلعه چای	دریان	۸
۸	قلعه چای	۳۲-۰۲۱	قبقلو	میر آباد	۲۶	۲۴	۳۵-۰۰۹	مردوق چای	قشلاق امیر	۹
۹	مردوق چای	۳۳-۰۰۳	بل آستان	شهر چای	۲۷	۳۳	۳۵-۰۱۱	لیلان چای	شیرین کند	۱۰
۱۰	لیلان چای	۳۳-۰۰۵	دریان	شهر چای	۲۹	۲۵	۳۵-۰۲۱	دریان چای	دریان	۱۱
۱۱	دریان چای	۳۸-۰۰۱	سبزه چای	تپیک	۳۰	۲۳	۳۵-۰۲۶	سبزه چای	تپیک	۱۲
۱۲	سبزه چای	۳۳-۰۰۷	پل آستان	نازلو چای	۲۸	۳۴	۳۵-۰۲۶	جیغا تو چای	پل آستان	۱۳
۱۳	جیغا تو چای	۳۳-۰۱۵	صفا خانه	نازلو چای	۲۹	۲۵	۳۵-۰۳۱	ساروق چای	صفا خانه	۱۴
۱۴	ساروق چای	۳۳-۰۲۱	سازه چای	زو لا چای	۳۰	۲۳	۳۵-۰۳۳	خرخره چای	سازه چای	۱۵
۱۵	خرخره چای	۳۳-۹۱۹	سازه چای	چهربیق علیا	۳۱	۲۲	۳۵-۰۳۹	زرنیه رود	سازه چای	۱۶
۱۶	زرنیه رود	۳۳-۰۲۳	بوکان	دریک	۳۲	۲۰	۳۶-۰۰۱	زیمینه رود	بوکان	۱۷
۱۷	زیمینه رود	۳۳-۰۳۵	تازه کند	نظر آباد	۳۳	۲۰	۳۶-۰۰۳	زیمینه رود	تازه کند	۱۸
۱۸	زیمینه رود	۳۳-۰۳۹		--	--	-	--	--	--	--

ایستگاه‌های ۱ تا ۱۱ در آذربایجان شرقی، ۱۲ تا ۱۵ در شمال کردستان و بقیه ایستگاه‌ها در آذربایجان غربی قرار دارند. به طور کلی طول دوره‌های آماری ایستگاه‌های مورد بررسی متفاوت بوده و بین ۱۴ تا ۴۳ سال متغیر می‌باشد.

نتایج و بحث

در این بخش ابتدا، نتایج حاصل از تحلیل خوشبندی بر روی ایستگاه‌های آب‌سنگی جهت تعیین بهترین نواحی همگن بیان شده و سپس نتایج حاصل از تحلیل فراوانی منطقه‌ای دبی سیلاپ حوضه آورده شده است.

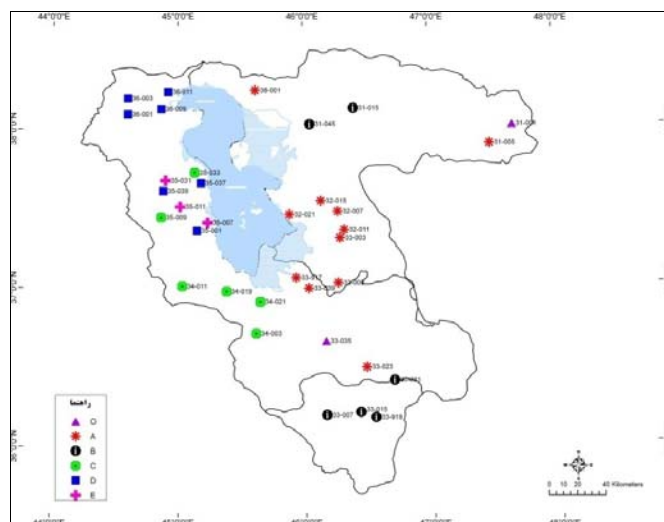
مقایسه روش‌های تحلیل خوشبندی

در این تحقیق برای تعیین نواحی همگن با توجه به ویژگی مورد نظر، از روش‌های K-means و K-medoids استفاده شد. در هر کدام از روش‌ها، خوشبندی حوضه با تعداد خوشبندی سه، چهار و پنج مورد آزمایش قرار گرفت و نتایج آنها با توجه به شاخص Silhouette ارزیابی شدند. مطابق جدول (۲)، هر دو روش مقدار شاخص محاسبه شده آنها مثبت است و این مقدار شاخص در روش K-means در مقایسه با روش K-medoids برای تمام خوشبندی بیشتر می‌باشد. در نتیجه، تعداد خوشبندی پنج با روش K-means به عنوان مناسب‌ترین روش برای خوشبندی نواحی همگن از لحاظ رفتار دبی حداقل لحظه‌ای انتخاب شد. همچنین جدول (۳) و شکل (۱) به ترتیب شماره ایستگاه‌های واقع

منطقه‌ای از نرم‌افزارهای freq.exe، xtest.exe و xfit.exe که تحت کد فرترن^۱ نوشته شده‌اند، استفاده شد.

منطقه مورد مطالعه و داده‌ها

حوضه دریاچه ارومیه با عرض جغرافیایی $35^{\circ}40'N$ و $38^{\circ}30'E$ شمالی و طول جغرافیایی $44^{\circ}07'E$ و $47^{\circ}53'E$ شرقی، در شمال غرب کشور قرار گرفته است. این حوضه که در سه استان آذربایجان شرقی، غربی و کردستان واقع شده، دارای وسعت ۵۷۵۰ کیلومترمربع بوده و وسعت دریاچه نیز حدوداً ۵۱۸۰ کیلومترمربع می‌باشد. کوه‌هایی از غرب، جنوب و شرق دریاچه را احاطه نموده‌اند، ولی از سمت شمال ارتفاعات مهمی وجود ندارد. حداقل ارتفاع در غرب ۳۶۰۸ متر، در شرق ۳۱۷۳ متر و در جنوب ۴۸۱۱ متر از سطح آبهای آزاد می‌باشد. وضعیت افت تراز آب دریاچه و فرآیند تدریجی خشک شدن آن در سال‌های اخیر مشکلات مهم اقتصادی، زیست محیطی و اجتماعی برای منطقه و از طرفی نگرانی‌های ملی و بین‌المللی را نیز به همراه داشته است. در این حوضه رودخانه‌های زیادی جریان داشته که از مهمترین آنها می‌توان به زرنیه رود، سیمینه رود و آجی چای اشاره کرد. در این مطالعه از آمار و اطلاعات ۳۵ ایستگاه آب‌سنگی که از قدامت کافی و پراکنش مکانی مناسب در سطح کل حوضه برای تحلیل‌های مورد نظر برخوردار بودند، استفاده گردید. جدول (۱) فهرست ایستگاه‌های منتخب را نشان می‌دهد. مطابق این جدول



شکل ۱- موقعیت ایستگاه‌های آب‌سنجی منتخب در نواحی پنج گانه

جدول ۲- متوسط مقادیر شاخص Silhouette

روش خوشه‌بندی	تعداد خوشه‌ها		
	۵	۴	۳
k-means	۰/۳۹	۰/۳۰	۰/۳۷
k-medoids	۰/۳۷	۰/۳۰	۰/۳۰

جدول ۳- ایستگاه‌های خوشه بندی شده هر ناحیه با استفاده از تحلیل خوشه‌ای

نام ناحیه	تعداد ایستگاه‌ها	شماره ایستگاه‌ها*
A	۱۱	۱۸، ۱۶، ۱۱ و ۱۹
B	۶	۴، ۳ و ۱۵
C	۶	۲۰، ۲۳ و ۲۶
D	۷	۲۴، ۲۸، ۳۱ و ۳۵
E	۳	۲۵، ۲۷ و ۲۹

* بر اساس جدول شماره (۱)

که آماره D آن از D بحرانی بزرگتر بود به عنوان ایستگاه ناجور تلقی گردید و در تحلیل منطقه‌ای کنار گذاشته شد و بقیه ایستگاه‌ها مورد آزمون همگنی قرار داده شدند. نتایج نشان داد که ایستگاه‌های سه‌زبان و بوکان با آماره ناجوری ۳ و $\frac{3}{19}$ نسبت به بقیه ایستگاه‌ها ناجور بوده و از گروه ایستگاه‌ها حذف شدند. در انتها آزمون‌های ناجوری برای هر منطقه همگن که با توجه به تحلیل خوشه‌بندی تعیین شده بودند، تکرار شد و مشاهده شد که ایستگاه ناجور در منطقه جدید وجود ندارد (جدول (۴)).

جدول (۵) نیز نتایج آزمون‌های H را در هر یک از نواحی نشان می‌دهد. مقادیر بزرگتر قدر مطلق H_1 در مقایسه با H_2 و H_3 نشان می‌دهد که غالباً چنانچه آماره H_1 همگنی نواحی را تأیید نماید، دو آماره دیگر نیز این مطلب را تأیید می‌کنند. این مورد در منابع دیگر توسط هاسکینگ و والیس نیز اشاره شده است و مقدار منفی آماره

شده در هر ناحیه همگن و موقعیت آنها را در سطح حوضه نشان می‌دهند. مطابق شکل (۱)، ایستگاه‌های مشابه شکل سه‌زبان و بوکان با استفاده از هر دو روش خوشه‌بندی در هیچ کدام از نواحی همگن تعیین شده قرار نگرفتند. همچنین ایستگاه‌های واقع در بخش‌های شرق، جنوب و شمال کردستان تراکم بیشتری دارند، اما ایستگاه‌های غرب و شمال‌غرب دریاچه میزان تراکم آنها کمتر است.

نتایج تحلیل فراوانی منطقه‌ای دبی سیلاب آزمون‌های ناجوری و ناهمگنی

برای شناسایی ایستگاه‌های ناجور، آزمون D هاسکینگ و والیس به کار برده شد (۱۵). برای این منظور آماره D برای هر ایستگاه محاسبه و با مقدار بحرانی مقایسه گردید. هر ایستگاهی

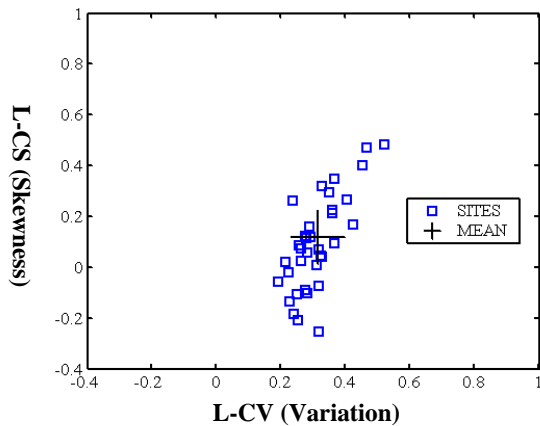
می باشد و از بین توزیع های برازش یافته، بهترین توزیع، توزیع می باشد که کمترین آماره Z را داشته باشد. بنابراین برای نواحی A، B و C تابع لوگستیک تعیین یافته و برای ناحیه D و E بنتای توابع لوگ نرمال ۳ پارامتری و مقادیر حدی تعیین یافته به عنوان مناسب ترین تابع برازش داده شده، انتخاب شدند. علاوه بر تابع توزیع مناسب برای هر ناحیه، تابع مقادیر حدی تعیین یافته به دلیل اینکه مقادیر Z هاسکینگ آن برای تمامی نواحی کمتر از ۱/۶۴ می باشد و بر تمام نواحی برازش مناسب یافته است. همچنین مطابق شکل (۳)، که بیان کننده نسبت گشتاورهای خطی (LCs) در برابر (LCK) است، مناسب بودن توزیع مقادیر حدی تعیین یافته را برای کل منطقه را تائید می کند. به عبارت دیگر می توان برای

¹H نشان می‌دهد که در نواحی همگن، میزان پراکندگی داده‌ها کمتر از مقدار مورد انتظار می‌باشد(۷).

آزمون ناهمگنی در هر یک از نواحی پنج گانه به طور مجزا اجرا شد و هر پنج منطقه از لحظات دبی سیالاب، همگن بودند. همچنین شکل (۲)، که بیان کننده نسبت گشتاورهای خطی (L-Cv در برابر L-CS) است، همگنی را تأیید می‌کند.

آزمون نکوئی برآش برای تعیین مناسب‌ترین قابع توزیع در نواحی همگن

نتایج حاصل از آزمون نکوئی براش Z در جدول (۶) نشان داده شده است. بر اساس این جدول هر توزیع احتمالی که آماره Z آن کوچکتر از $1/\sqrt{4}$ باشد به داده های منطقه ای قابل براش



شکل ۲- نمودار نسبت گشتاورهای خطی LCV در برابر LCs

جدول ۴- نسبت‌های گشتاورهای خطی و آزمون ناجوری (Di) برای دبی سیلاب نواحی پنج گانه

D _i	L-Kurt	L-Skew	L-CV	ایستگاه	ناحیه	D _i	L-Kurt	L-Skew	L-CV	ایستگاه	ناحیه
۱/۱۵	۰/۱۸۴	۰/۲۳۰	۰/۳۰۸	کوترب	C	۱/۷۶	۰/۴۴۹	۰/۵۲	۰/۳۵۹	سرانسر	A
۰/۸۹	۰/۰۵۵	۰/۰۹۹	۰/۲۳۷	پیقلعه		۱/۲۵	۰/۳۷۸	۰/۲	۰/۲۷۷	سدعلویان	
۱/۵۱	۰/۳۱۸	۰/۳۸۵	۰/۲۴۹	نقده		۰/۸۳	۰/۲۶۸	۰/۳۳۴	۰/۳۸۳	چکان	
۱/۳۹	۰/۱۸۶	۰/۰۶۶	۰/۲۰۱	پل بهراملو		۰/۷	۰/۱۶۹	۰/۰۲۱	۰/۲۶۱	ینگجه	
۰/۴۷	۰/۲۱۸	۰/۱۸۴	۰/۲۶۷	آباجالوسفلی		۰/۴۱	۰/۱۵۲	۰/۰۵۷	۰/۲۷۵	شیشوان	
۰/۶۰	۰/۱۲۳	۰/۱۸۱	۰/۲۲۹	میرآباد		۱/۳۵	۰/۲۲۲	۰/۲۸۶	۰/۳۰۵	قشلاق امیر	
۱/۲۴	۰/۲۷۲	۰/۳۱۸	۰/۳۸۱	فاسملو	D	۱/۰	۰/۰۵۳	۰/۱۸۸	۰/۳۸۷	شیرین کند	B
۰/۴۷	۰/۱۵۵	۰/۱۴۷	۰/۳۳۵	گویجعلی اصلان		۰/۳۴	۰/۲۶۰	۰/۱۹۴	۰/۲۸۳	دریان	
۱/۵۷	۰/۰۹۰	۰/۲۶۴	۰/۴۵۱	کلهور		۱/۶۴	۰/۱۶۲	۰/۰۷۱	۰/۳۴۹	تازه کند	
۰/۱۸	۰/۱۲۱	۰/۱۹۸	۰/۳۵۵	چهربیق علیا		۱/۱	-۰/۰۲۹	۰/۰۵۴	۰/۳۶۶	نظام آباد	
۱/۳۱	۰/۱۹۶	۰/۴۳۸	۰/۴۴۳	نظر آباد		۰/۶۱	۰/۰۵۳	۰/۰۰۵	۰/۲۹۱	ساری قمیش	
۱/۶۴	۰/۰۹۸	۰/۲۴۰	۰/۳۱۱	پالقوز آجاج		۰/۴۵	۰/۲۱۰	۰/۲۳۰	۰/۲۹۵	ونیار	
۰/۵۹	۰/۱۷۶	۰/۱۵۷	۰/۳۵۱	تمر	E	۱/۷۱	۰/۰۲۲	۰/۰۴۳	۰/۳۰۷	آخوله	C
۱/۰	۰/۳۱۵	۰/۴۳۹	۰/۳۸۲	بابارود		۰/۸۷	۰/۳۱۱	۰/۳۱۳	۰/۳۰۱	قبقلو	
۱/۰	۰/۱۶۶	۰/۴۸۷	۰/۴۷۴	بندر ارمومه		۱/۵۹	۰/۱۹۴	۰/۰۶۵	۰/۲۴۷	پل آستان	
۱/۰	۰/۲۶۰	۰/۳۸۶	۰/۳۶۵	تیک		۱/۵۳	۰/۲۸۷	۰/۲۵۶	۰/۳۵۰	صفاخانه	
						۰/۳۸	۰/۱۰۳	۰/۰۹۹	۰/۲۷۶	ستنه	

جدول ۵- نتایج آزمون همگنی، H_i ، برای دبی سیلاب نواحی پنج گانه

میزان ناهمگنی			ناحیه
H_3	H_2	H_1	
۲/۱۵	۱/۳۳	-۰/۱۷	A
۰/۲۶	۰/۰۱	-۰/۹۷	B
۰/۷۸	۰/۷۴	۰/۱۸	C
-۰/۱۰	۰/۳۱	۰/۶۲	D
-۱/۰۲	-۰/۵۸	۰/۱۹	E

جدول ۶- مقادیر آماره Z در نواحی پنج گانه

ناحیه	یافته	تعیین یافته	مقادیر حدی	لوگ نرمال سه پارامتری	پیش‌سون نوع سه	پارتو تعیین یافته
A	-۰/۷۳*	-۱/۱۹	-۲/۴۲	-۲/۹۸	-۵/۴۴	
B	-۰/۰۹*	-۱/۱۲	-۱/۲۶	-۱/۶۱	-۳/۳۹	
C	۰/۱۷*	-۱/۰۲	-۱/۲۵	-۱/۷۶	-۳/۷۱	
D	۱/۶۰	۰/۷۶	۰/۲۸*	۰/۰۵۹	-۱/۸۰	
E	۰/۳۸	۰/۱۷*	-۰/۳۹	-۱/۳۶	-۰/۹۷	

* مناسبترینتابع توزیع برازش یافته برای هر ناحیه

جدول ۷- پارامترهای منطقه‌ای و توابع توزیع تعیین شده برای نواحی پنج گانه

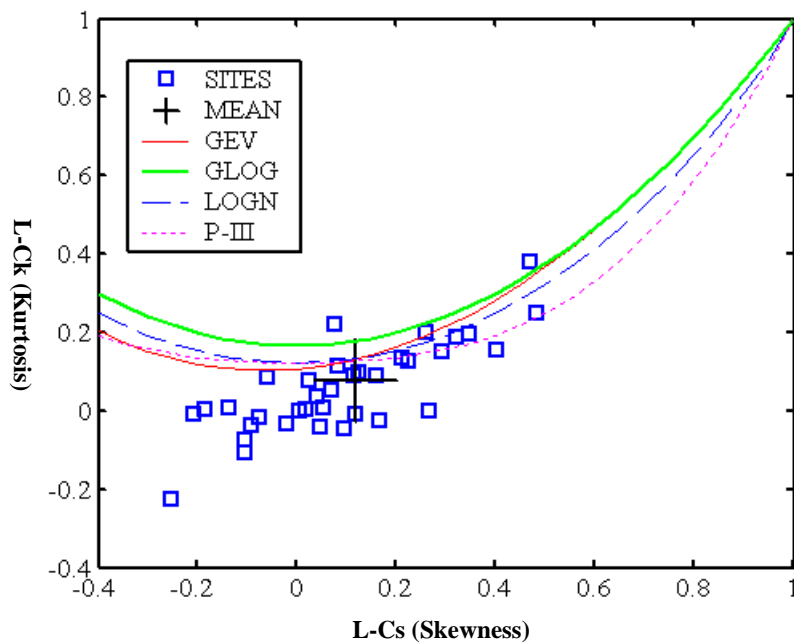
ناحیه	پارامترهای توزیع		
	شكل	مقیاس	موقعیت
A	-۰/۱۸۱	۰/۳۰۴	۰/۹۰۶
B	-۰/۱۷۳	۰/۲۸۲	۰/۹۱۷
C	-۰/۱۹۰	۰/۲۳۱	۰/۹۲۵
D	-۰/۵۱۹	۰/۵۹۳	۰/۸۳۵
E	-۰/۳۷۹	۰/۳۵۶	۰/۵۸۴

A، B و C که بر توزیع یکسان برازش یافته‌اند، تقریباً مقادیر آنها نزدیک به یکدیگر است.

در نهایت مقادیر سیلاب با دوره بازگشت‌های مختلف برای توابع توزیع مناسبی که بر روی هر ایستگاه و ناحیه برازش یافته، تخمین زده شد. مطابق جدول (۹) دبی سیلاب ایستگاه‌های سه‌زبان و بوکان که به صورت ایستگاهی تحلیل فراوانی شدند، ذکر شده است. همچنین در جدول (۱۰)، دبی سیلاب نواحی پنج گانه به ازای دوره بازگشت‌های مختلف بیان شده است. مطابق این جدول حدود ۸۰ درصد ایستگاه‌های ناحیه A و تمام ایستگاه‌های نواحی B، C و E از نظر مکانیزم تولید سیلاب در هر ناحیه، یکسان هستند که این نتایج با مطالعات آداموسکی (۴) مطابقت دارد. به طور کلی در تمامی نواحی مورد مطالعه مقادیر

نواحی مورد مطالعه، تابعی واحد اما با پارامترهای مختلف پیشنهاد کرد. ایستگاه‌های سه‌زبان و بوکان نیز به دلیل ناجور بودن از گروه ایستگاه‌ها، بصورت ایستگاهی تحلیل فراوانی شدند. برای ایستگاه سه‌زبان توزیع لوگ نرمال دو پارامتری و برای ایستگاه بوکان تابع لوگ نرمال سه پارامتری به عنوان مناسب‌ترین تابع توزیع بر اساس آزمون کلموگروف-اسمیرنوف، انتخاب گردید. برآورد پارامترهای توابع توزیع نواحی همگن، با استفاده از روش پیشنهادی هاسکینگ صورت گرفت. پس از برآورد پارامترهای توابع توزیع، تابع چندک هر یک از نواحی پنج گانه و مقادیر کمی منحنی رشد (کمیت‌های منطقه‌ای) برای دوره بازگشت‌های مختلف مطابق جدول‌های (۷) و (۸) محاسبه شد. همچنین مطابق این جداول، پارامترهای توزیع و مقادیر کمی منحنی رشد نواحی

برآورد شده سیلاب اوج لحظه‌ای در دوره بازگشت‌های کم از نزدیکی خوبی با آمار واقعی برخوردار است.



شکل ۳- نمودار نسبت گشتاورهای خطی LCs در برابر LCk

جدول ۸- مقادیر کمی منحنی رشد بهترین توزیع انتخاب شده برای نواحی پنج گانه

مقادیر کمی منحنی رشد					نوع توزیع	ناحیه
۰/۹۹۹	۰/۹۹	۰/۹۵	۰/۹	۰/۵		
۵/۰۸۴	۳/۰۸۲	۲/۰۸۷	۱/۷۲۵	۰/۹۰۶	لjestیک تعمیم یافته	A
۴/۶۷۱	۲/۸۹۶	۱/۹۹۹	۱/۶۷	۰/۹۱۷	لjestیک تعمیم یافته	B
۴/۲۲۳	۲/۶۱۸	۱/۸۳۵	۱/۵۵۴	۰/۹۲۵	لjestیک تعمیم یافته	C
۵/۳۷۲	۳/۵۱۳	۲/۳۷۵	۱/۹۱۴	۰/۸۳۵	لوگ نرمال ۳ پارامتری	D
۱۲/۵۳۷	۵/۰۱۹	۲/۵۴۱	۱/۸۴۹	۰/۷۲۴	مقادیر حدی تعمیم یافته	E

جدول ۹- دبی سیلاب (مترمکعب بر ثانیه) با دوره‌های بازگشت مختلف در ایستگاه سه زاپ و بوکان

دوره بازگشت						ایستگاه
۱۰۰	۵۰	۲۰	۱۰	۵	۲	
۷۷/۸۹	۵۸/۶۸	۲۸/۴۲	۲۶/۴۱	۱۶/۸۳	۷/۲۲	سه زاپ
۱۷۱۱/۶۷	۱۳۴۷/۴۹	۹۴۱/۲۱	۶۸۴/۲۶	۴۶۵/۱۱	۲۲۲/۲۲	بوکان

جدول ۱۰- دبی سیلاب (مترمکعب بر ثانیه) با دوره‌های بازگشت مختلف در نواحی پنج گانه

دوره بازگشت							ایستگاه	ناحیه
۱۰۰	۵۰	۲۰	۱۰	۵	۲			
۱۷۱/۶۳	۱۴۷/۰۶	۱۱۸/۱۳	۹۸/۲۶	۷۹/۲۷	۵۲/۱	سرانسر		
۱۷۲/۱۲	۱۴۷/۴۸	۱۱۸/۴۷	۹۸/۵۵	۷۹/۵	۵۲/۲۵	سد علوبان		
۳۹/۳۲	۲۳/۶۹	۲۷/۰۶	۲۲/۵۱	۱۸/۱۶	۱۱/۹۴۰	چکان		
۱۵۲/۰۴	۱۳۰/۲۸	۱۰۴/۶۵	۸۷/۰۵	۷۰/۲۳	۴۶/۱۶	ینگجه		
۲۰۵/۴۱	۱۷۶/۰۱	۱۴۱/۳۸	۱۱۷/۶	۹۴/۸۸	۶۲/۳۶	شیشوان		
۱۳۴/۴۵	۱۱۵/۲	۹۲/۵۴	۷۶/۹۸	۶۲/۱	۴۰/۸۲	قشلاق-امیر	A	
۱۶۳/۹۳	۱۴۰/۴۷	۱۱۲/۸۳	۹۳/۸۶	۷۵/۷۲	۴۹/۷۷	شیرین-کند		
۱۷/۷۳	۱۵/۱۹	۱۲/۲۰۰	۱۰/۱۵۰	۸/۱۹۰	۵/۳۸۰	دریان		
۱۵۴/۵۱	۱۳۲/۴	۱۰۶/۳۵	۸۸/۴۶	۷۱/۳۷	۴۶/۹۱	تازه-کند		
۱۰۸۶/۸۹	۹۳۱/۳۲	۷۴۸/۰۹	۶۲۲/۲۹	۵۰۲/۰۴	۳۲۹/۹۷	نظام-آباد		
۱۱۶۰/۰۱	۹۹۳/۹۸	۷۹۸/۴۲	۶۶۴/۱۵	۵۳۵/۸۱	۳۵۲/۱۷	ساری-تعمیش		
۴۰۹/۹۸	۲۵۱/۴۳	۲۸۳/۰۴	۲۳۶/۴۸	۱۹۲/۳۲	۱۲۹/۸۱	ونیار		
۳۴۱/۶۷	۲۹۲/۸۷	۲۳۵/۸۸	۱۹۷/۰۷	۱۶۰/۲۷	۱۰۸/۱۸	آخوله		
۳۸۴/۵۴	۲۲۹/۶۲	۲۶۵/۴۷	۲۲۱/۸	۱۸۰/۳۸	۱۲۱/۷۵	قببلو	B	
۶۲۹/۲۶	۵۳۹/۴	۴۳۴/۴۲	۳۶۲/۹۶	۲۹۵/۱۸	۱۹۹/۲۴	پل-آستان		
۳۰۴/۶۷	۲۶۱/۱۶	۲۱۰/۳۴	۱۷۵/۷۳	۱۴۲/۹۲	۹۶/۴۷	صفاخانه		
۲۹۶/۱۴	۲۵۳/۸۵	۲۰۴/۴۵	۱۷۰/۸۱	۱۳۸/۹۲	۹۳/۷۶	ستنه		
۳۱۱/۵۱	۲۶۸/۲۱	۲۱۸/۳۴	۱۸۴/۸۷	۱۵۳/۵۵	۱۱۰/۰۱	کوتور		
۲۱۷/۶۴	۱۸۷/۳۹	۱۵۲/۵۴	۱۲۹/۱۶	۱۰۷/۲۸	۷۶/۸۶	پی-قلعه		
۲۶۲/۴۴	۲۲۵/۹۶	۱۸۳/۹۴	۱۵۵/۷۵	۱۲۹/۳۶	۹۲/۶۸	نقده	C	
۲۶۰/۰۲	۲۲۳/۸۸	۱۸۲/۲۵	۱۵۴/۳۱	۱۲۸/۱۷	۹۱/۸۳	پل-بهراملو		
۲۰۷/۰۷	۱۷۸/۲۹	۱۴۵/۱۴	۱۲۲/۸۹	۱۰۲/۰۷	۷۳/۱۳	آباجالو-سفلى		
۱۱۱/۵۸	۹۶/۰۷	۷۸/۲۱	۶۶/۲۲	۵۵	۳۹/۴۱	میرآباد		
۶۳/۵۸	۵۴/۴۶	۴۲/۹۸	۳۴/۶۴	۲۶/۴۴	۱۵/۱۲	قاسملو		
۶۱/۱۶	۵۲/۴۹	۴۱/۳۵	۳۳/۳۲	۲۵/۴۳	۱۴/۵۴	گوییجعلي-اصلان		
۱۳۵/۱۴	۱۱۵/۷۶	۹۱/۳۶	۷۳/۶۳	۵۶/۱۹	۳۲/۱۳	کلهور		
۲۲۸/۰۷	۱۹۵/۳۵	۱۵۴/۱۹	۱۲۴/۲۷	۹۴/۸۴	۵۴/۲۳	چهرقان-علیا	D	
۷۸/۵	۶۷/۲۴	۵۳/۰۷	۴۲/۷۷	۳۲/۶۴	۱۸/۶۶	نظرآباد		
۱۰۵/۵۸	۹۰/۴۳	۷۱/۳۸	۵۷/۵۳	۴۳/۹	۲۵/۱	یالقوز-آغاج		
۶۳/۵۴	۵۴/۴۳	۴۲/۹۶	۳۴/۶۲	۲۶/۴۲	۱۵/۱۱	تمر		
۴۵۱/۵۲	۳۳۹/۰۵	۲۲۸/۶۱	۱۶۶/۳۶	۱۱۷/۲۳	۶۵/۰۹	بابارود		
۴۴۴/۸۶	۳۳۴/۰۵	۲۲۵/۲۴	۱۶۳/۹۱	۱۱۵/۵۱	۶۴/۱۴	بندارومیه	E	
۵۴۷/۳۳	۴۱۰/۹۹	۲۷۷/۱۲	۲۰۱/۶۶	۱۴۲/۱۱	۷۸/۹۱	تپیک		

مورد استفاده قرار گرفت و اطلاعات آنها برای انجام خوشبندی و تحلیل فراوانی نواحی همگن مورد ارزیابی قرار گرفت. نتایج زیر از این تحقیق قابل ارائه می‌باشد:

نتیجه‌گیری

تحقیق حاضر تلاشی بود برای تحلیل فراوانی منطقه‌ای دبی سیلاب حداقل در نواحی پنج گانه حوضه دریاچه ارومیه که به صورت همگن تقسیم شدند. بدین منظور ۳۵ ایستگاه آب‌سنگی

مناسب‌ترین تابع توزیع احتمالاتی برای تخمین دبی سیالاب اوج لحظه‌ای با دوره بازگشتهای مختلف، انتخاب شدند.

۶- برای ایستگاه‌های سه‌هزار و بیکان که به صورت ایستگاهی تحلیل فراوانی شدند، به ترتیب توابع لوگ نرمال دو و سه پارامتری با توجه به آزمون‌های نکوئی برازش کلموگروف- اسمیرنوف و کای اسکوئر مناسب تشخیص داده شدند.

۷- برای تمام نواحی پنج گانه توابع توزیع سه پارامتری بهتر بازش یافته‌هاند و تابع مقادیر حدی تعمیم‌یافته نیز برای تمامی نواحی در سطح حوضه، مناسب تشخیص داده شد. بنابراین با استفاده از نتایج به دست آمده و به کمک این مدل‌ها می‌توان در هر نقطه از حوضه آبریز به خصوص نواحی که فاقد آمار کافی جهت مطالعات هیدرولوژی هستند از روابط چندک‌های بی‌بعد ناحیه‌ای استفاده کرد. قابل ذکر است که استفاده از یک نوع تابع توزیع برای تمامی نواحی مورد مطالعه، کاربردی‌تر و مؤثرتر واقع شود.

۱- مقایسه بین دو روش خوشبندی K-means و K-medoids با تعداد خوشبندی‌های سه، چهار و پنج نشان داد که مقدار شاخص Silhouette در روش K-means با هر تعداد خوشبندی بیشتر است، بنابراین دقت طبقه‌بندی آن بالاتر است.

۲- برای تشخیص نواحی همگن در حوضه مورد مطالعه، روش Silhouette با تعداد خوشبندی پنج، با توجه به شاخص K-means مناسب‌ترین حالت خوشبندی جهت منطقه‌بندی حوضه انتخاب شد.

۳- نواحی همگن حاصل از تحلیل خوشبندی با آزمون ناهمنگی هاسکینگ مورد بررسی قرار گرفتند و در نتیجه صحت همگنی این نواحی پنج گانه تأیید شد. همچنین، بخش شرقی دریاچه و شمال استان کردستان ایستگاه‌های همگن با تراکم بیشتر را نشان می‌دهند.

۴- از طرفی دیگر، کاربرد آزمون همگنی و آماره‌های آن بدون استفاده از دیاگرام نسبت گشتاورهای خطی LCv-LCs ممکن است نتایج همگنی درستی را ارائه ندهند.

۵- با استفاده از آزمون نکوئی برازش هاسکینگ، توابع لجستیک تعمیم‌یافته در نواحی A، B و C، لوگ نرمال سه پارامتری در ناحیه D و مقادیر حدی تعمیم‌یافته در ناحیه E به عنوان

منابع

- ۱- اسلامیان، س، مدرس، ر. و س. سلطانی. ۱۳۸۵. گروه‌بندی مکانی خشکسالی با استفاده از شاخص استاندارد بارش در استان اصفهان. یادداشت فنی. نشریه آب و فاضلاب، چلد ۱۷، شماره ۵۷، صفحات ۷۲-۷۵.
- ۲- شامکوئیان، ح، قهرمان، ب، داوری، ک. و م. سرمد. ۱۳۸۸. تحلیل فراوانی سیالاب منطقه‌ای با استفاده از تئوری گشتاورهای خطی و سیالاب نمایه در حوضه‌های آبریز استان‌های خراسان. مجله آب و خاک (علوم و صنایع کشاورزی)، جلد ۲۳، شماره ۱، صفحات ۴۳-۳۱.
- ۳- هاشمی، س. م. ۱۳۸۷. خوشبندی زمانی و مکانی شبکه‌های آبیاری با استفاده از روش‌های کلاسیک و فازی (مطالعه موردی شبکه آبیاری قزوین). پایان‌نامه کارشناسی ارشد، دانشکده کشاورزی، دانشگاه تربیت مدرس.
- 4- Adamowski, K. 2000. Regional analysis of annual maximum and partial duration flood data by nonparametric and l-moment methods. Journal of Hydrology, 229: 219-231.
- 5- Bhaskar, N. R., and C. A. O'Connor. 1989. Comparison of method of residuals and cluster analysis for flood regionalization. Journal of Water Resources Planning and Management, ASCE. 115(6): 793-808.
- 6- Burn, D. H. 1989. Cluster analysis as applied to regional flood frequency. Journal of Water Resources Planning and Management, ASCE. 115(5): 567-582.
- 7- Cunnane, C. 1989. Statistical distributions for flood frequency analysis. Word Meteorological Organization Operational Hydrology. Report No. 33, WMO-No. 718, Geneva, Switzerland.edn, Sussex : J.Wiley ans Sons. England.
- 8- Eslamian, S. S. and H. Feizi. 2007. Maximum monthly rainfall analysis using l-moments for an arid region in Isfahan province, Iran. Journal of Applied Meteorology and Climatology. 46(4): 494–503.
- 9- Eslamian, S., Hassanzadeh, H., Abedi-Koupai, J. and M. Gheysari. 2011. Application of l-moments for regional frequency analysis of monthly drought Indexes. Journal of Hydrologic Engineering. 17(1): 32-42.

- 10- Gommes, R. and F. Petras. 1994. Rainfall variability and drought in Sub-Saharan Africa since 1960. Agrometeorology Series Working Paper (FAO). No. 9. Roma(Italia).
- 11- Greenwood, J. A., Landwehr, J. M. Matalas, N. C. and J. R. Wallis. 1979. Probability weighted moments: Definition and relation to parameters of several distributions expressible in inverse form. Water Resour. Res., 15: 1049–1054.
- 12- Han, J. and M. Kamber. 2006. Data mining: Concepts and techniques. Morgan Kaufmann Publishers, 2nd Edn., New Delhi, ISBN: 978-81-312-0535-8.
- 13- Hoppner, F., klawonn, F., kruse, R. and R. Thomas. 1999. Fuzzy cluster analysis: methods for classification, data analysis and image recognition. John.
- 14- Hosking, J. R. M. 1986. The theory of probability weighted moments. Research. Rep. RC, 12210, 160. IBM Research Division, Yorktown Heights, New York.
- 15- Hosking, J. R. M. 1990. L-moments: Analysis and estimation of distributions using linear combinations of order statistics. Journal of Royal Statistical Society. Series B, 52(1): 105–124.
- 16- Hosking, J. R. M. 1991. Approximations for use in constructing L-moment ratio diagrams. Research. Rep. RC 16635, IBM Research Division, TJ Watson Research Center.
- 17- Hosking, J. R. M. and J. R. Wallis. 1993. Some statistics useful in regional frequency analysis. Water Resour. Res. 29(2): 271–281.
- 18- Hosking, J. R. and J. R. Wallis. 1997. Regional Frequency Analysis: An Approach based on l-moments. Cambridge University Press, Cambridge, UK, 244 p.
- 19- Kaufman, L. and P. Rousseeuw. 1990. Finding groups in data: an introduction to cluster analysis. John Wiley & Sons, Interscience Publication. 368 p.
- 20- Klemes, V. 1988. A hydrological perspective. Journal of Hydrology. 100(1): 3-28.
- 21- Kumar, R. and C. Chatterjee. 2005. Regional flood frequency analysis using L-Moments for North Brahmaputra region of India. Journal of Hydrologic Engineering, 10: 1-7.
- 22- Mosley, M. P. 1981. Delimitation of New Zealand hydrologic regions. Journal of Hydrology, 49: 173-192.
- 23- Pollard, K. S. and M. Van Der Laan. 2002. A method to identify significant clusters in gene expression data.
- 24- Rooy, M. and P. Van. 1965. A rainfall anomaly index independent of time and space. Notos 14: P. 43.
- 25- Santos, J. F., Pulido-Calvo, I. and M. Manuela Portela. 2010. Spatial and temporal variability of droughts in Portugal. Water Resources Research. 46(3), W03503.
- 26- Velmurugan, T. and T. Santhanam. 2010. Computational complexity between k-means and k-medoids clustering algorithms for normal and uniform distributions of data points. Journal of Computer Science. 6 (3): 363-368.